

- HPLCカラム - 真の性能の利用のために

1. 分離を支配する要素
バンド拡がり
van Deemter 式
カラム外効果

2. 逆相クロマトグラフィー
溶質と固定相の相互作用
固定相の調製法と保持特性
シラノールと金属不純物の効果

3. HPLCの高性能化
微粒子充填剤
モリスカラム
ピークキャパシティ
2D-HPLC

理論段数
 $H = \sigma^2 / L$ 理論段高
A, B, C頂 最適 u
 σ_{ext}^2 分散

分散相互作用
 $\alpha(\text{CH}_3)$ 値
二次的保持効果

UPLC: N / t_0
(流路 / 骨格) サイズ比
真の分離性能?
高いピークキャパシティ

07RPLC 1

1. 分離を支配する要素

$$R_S = (N/4) \cdot [(-1)/] \cdot [k/(k+1)] \quad (1)$$

分離度 理論段数 選択性 保持

$k = (t_R - t_0) / t_0 \quad (2)$ (k : 保持係数 ---- 固定相の保持能力、移動相の溶出力)

$$= k_2 / k_1 \quad (3) \quad (k_2: \text{選択性}, k_1: \text{分散係数})$$

$N = L^2 / \sigma^2 = 16(t_R/t_W)^2 = 5.54(t_R/t_{W1/2})^2$

バンド拡がり(を支配する要素)の理解(分散の可成性)
 $L / N = H = \sigma^2 / L = \sigma^2 / (L \cdot d_p) + \sigma^2 / (分子拡散) + \sigma^2 / (固定相)$

理論段高 $= H = C_E d_p + C_D / u + C_S d_p^2 u$
 $(N: \text{理論段数}, L: \text{カラム長}, H: \text{理論段高}, u: \text{移動相線速度}, d_p: \text{粒子径}, D_m: \text{拡散係数}, \sigma^2: \text{溶質バンドのガウス分布の分散})$

$P = \pi / L \cdot \sigma^2 \quad (5) \quad (P: \text{カラム効率})$

クロマトグラフは、固定相と移動相との間の溶質の分配係数における差を、移動速度の差に置き換えて分離を行う手法である。

HPLC (High Performance Liquid Chromatography) 用語

- カラム (Column)
- 充填剤 (Packing material) particles
- 固定相 (Stationary phase)
- 移動相 (Mobile phase) solvent
- 保持、保持係数 (Retention factor = k)
(t_0 or t_m ; Column dead time or hold up time, t_R ; Retention time)
- 分離系数 (Separation factor = α) selectivity
- 分離度 (Resolution = R_S)
- 理論段数 (Number of theoretical plates = N) 分配平衡の回数
- 理論段高 (Height equivalent of theoretical plates = H) 1段相当カラム長
- ピークキャパシティ (Peak capacity = n_C) 分離可能ピーク数
- 分離インピーダンス (Separation impedance = E) 時間あたり、圧力あたり N
- 理論段数 / plate time (maximum N at minimum t_R/N) Poppe Plot
- 理論段数 / (maximum N at minimum t_R/N^2) Kinetic plot analysis

HPLC 分離 - HPLC カラムの分離性能

課題1 HPLCにおける分離を支配する要素は何か。

課題2 カラムの性能 ($H = \text{単位カラム長あたりの溶質バンドの拡がり} = \text{ガウス分布の分散}$)は何に依存するか?

課題3 H を決める要素: A頂, B頂, C頂とは?

課題4 カラムの性能を最大限に利用するために必要なことは?

課題5 カラムの真の理論段数(性能)とは?

07RPLC 4

カラム内のバンド拡がりの記述 (Van Deemter equation (3))

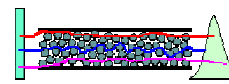
1. multiple path (多流路拡散)
2. molecular diffusion (分子拡散)
3. slow mass transfer (遅い物質移動)

1956 J.J. Van Deemter
HETPの移動相流速に対する依存性を記述

$N = L^2/\sigma^2 = 16t_R^2/t_W^2 \quad (1)$
 $H = \sigma^2 / L = L / N = h d_p \quad (2)$
 $H = C_E d_p + C_D/u + C_S d_p^2 u \quad (3)$
 $= A + B/u + Cu$

http://hplc.chem.shu.edu/NEW/HPLC_Book/Theory/th_vandm.html

Multiple path (多流路拡散) A項



カラム内の(直徑方向の)異なる点で、移動相の流速が異なる。粒子の大きさ、形状、充填状態、空隙の大きさなどに依存する。

バンド拡がりに対する効果(A項)は、次のように表される。流速に依存しない。

$$H_p = 2\lambda d_p$$

http://hplc.chem.shu.edu/NEW/HPLC_Book/Theory/th_vandm.html 6

Molecular diffusion (分子拡散)

移動相溶媒中、固定相上で分子拡散: カラム軸方向の成分が H(バンド拡がり)に寄与する。

$H_d = 2 \gamma D_m / v \quad H = \sigma^2 / L, \sigma^2 = 2 D_m t_R \quad (t_R = L/u_{solute})$

D_m : 拡散係数
 γ : obstruction factor
 v : (reduced) velocity

バンド拡がりに対する効果(B項)は、流速に反比例する。
分子量の大きな溶質について、バンド拡がり(効果)が小さい。
粒子の大きさ、形状、充填状態などにそれほど依存しない。

http://hplc.chem.shu.edu/NEW/HPLC_Book/Theory/th_vandm.html 7

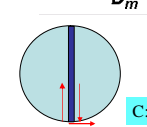
Kinetics of the mass transfer (物質移動の速さ、遅さ)

充填剤の中と外、固定相の中と外の移動、ならびに、吸着と脱着の効果を含む。
5 μm充填剤の10 nmの細孔を考えるとサイズは 500 / 1、細孔内の流速は無視できるほど小さい。分子は拡散によって移動する。

吸着、脱着の速度(遅いこと)は、通常、無視できる。

$$H_m = \frac{d_p^2}{D_m} v \quad (10)$$

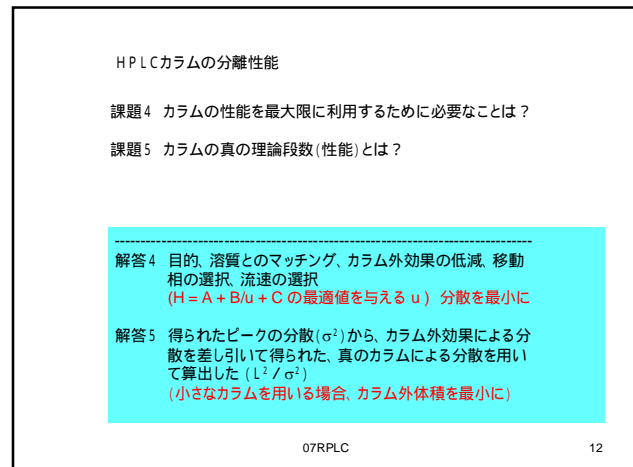
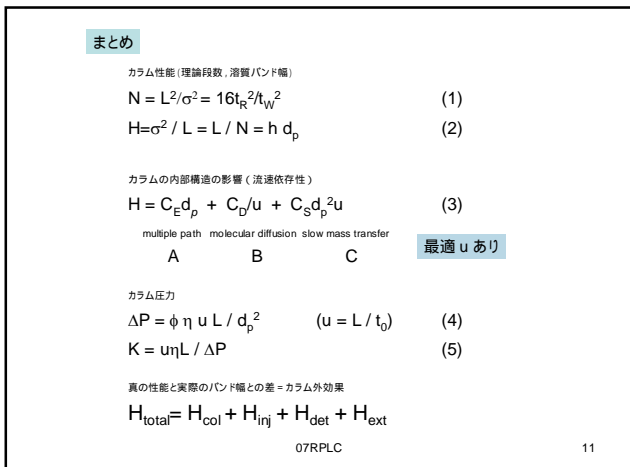
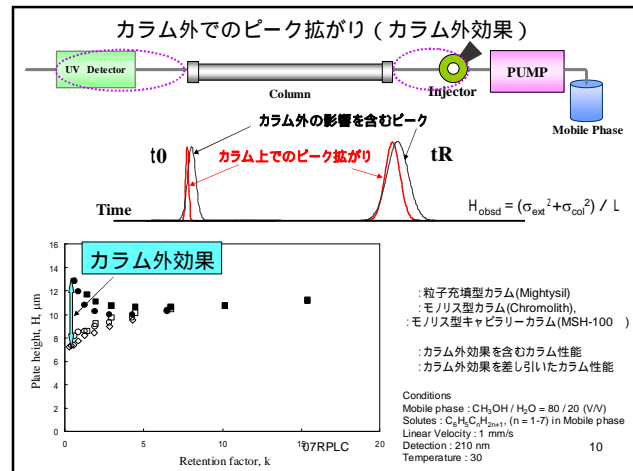
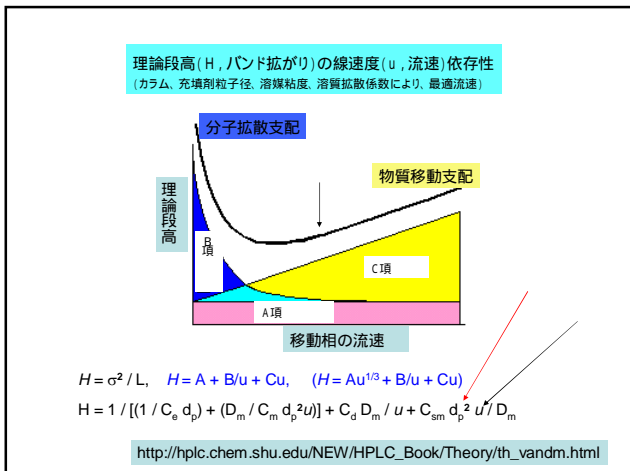
d_p : 粒子径
 D_m : 拡散係数
 ϕ : 粒子の細孔分布、形状、粒子径分布により決まる係数
 v : (換算)線速度

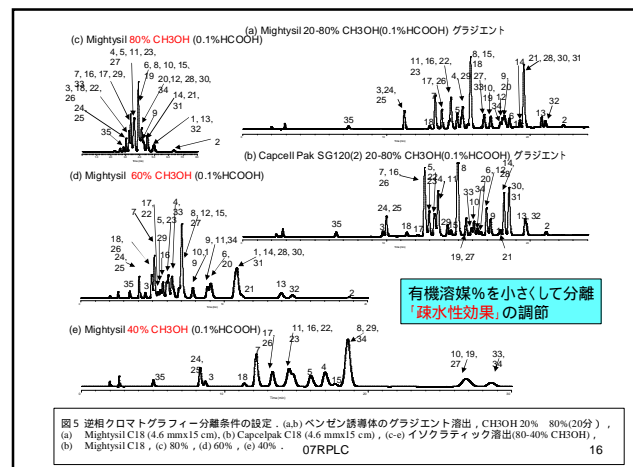
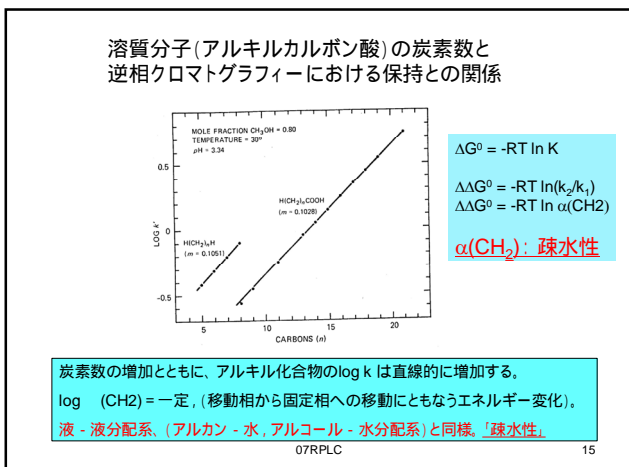
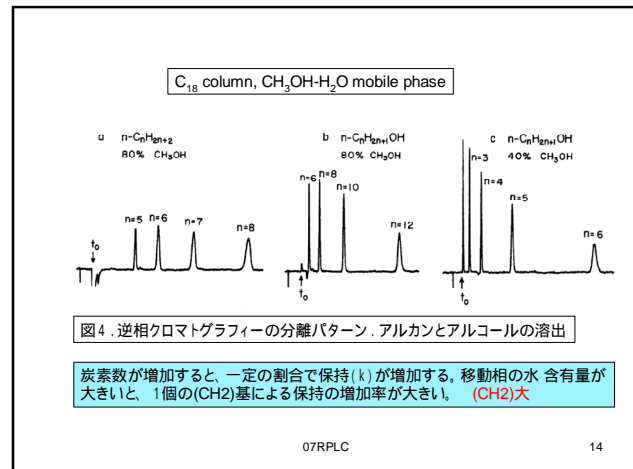
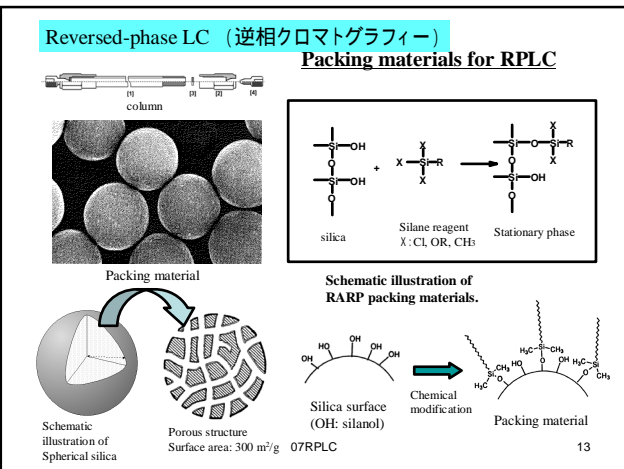


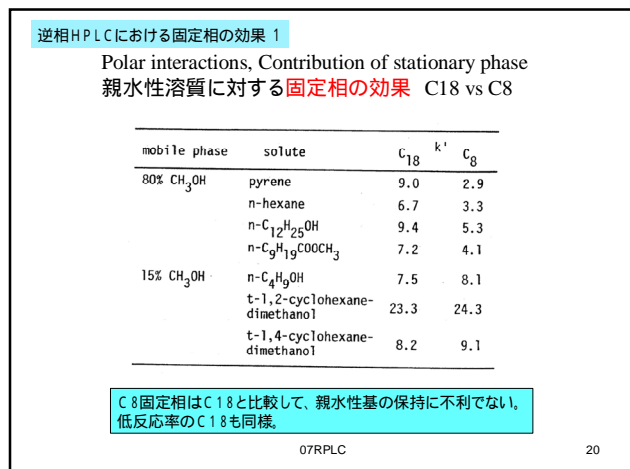
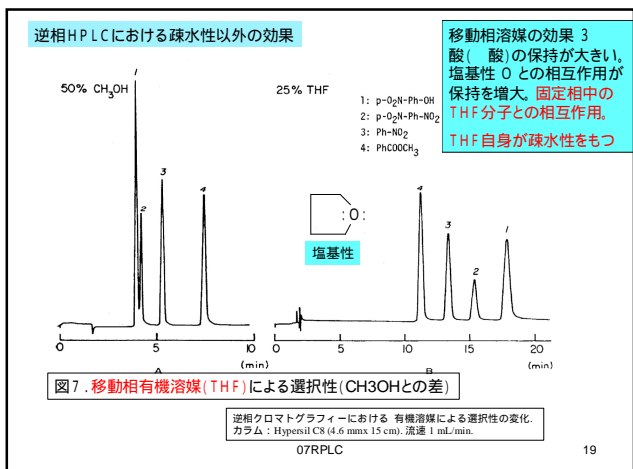
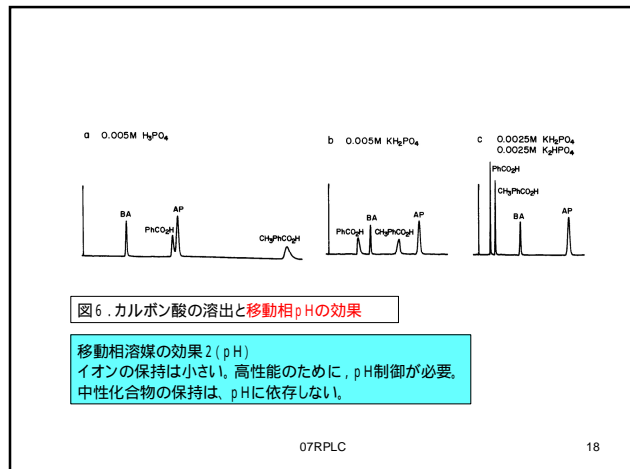
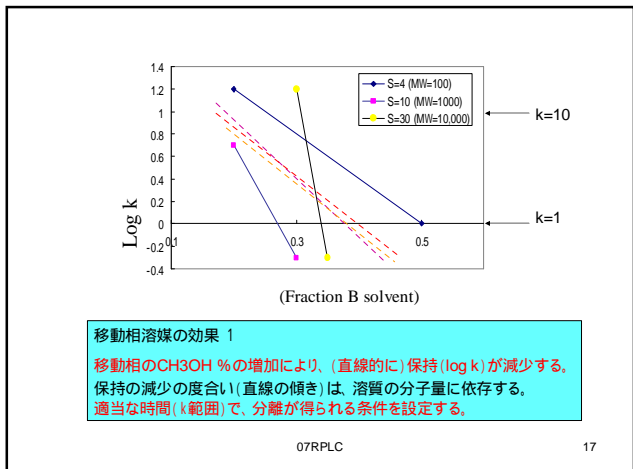
C: 固定相中の物質移動

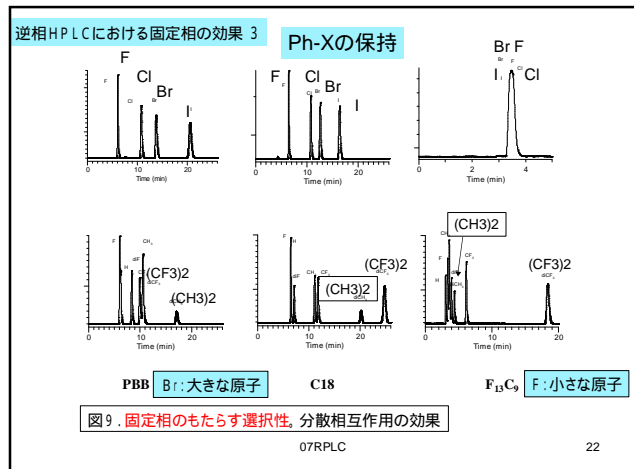
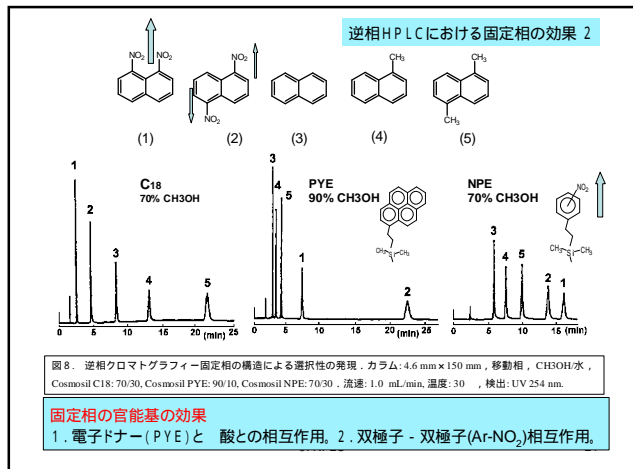
バンド拡がり(H)は、流速に比例。
高速溶出で効果が大きい。

http://hplc.chem.shu.edu/NEW/HPLC_Book/Theory/th_vandm.html

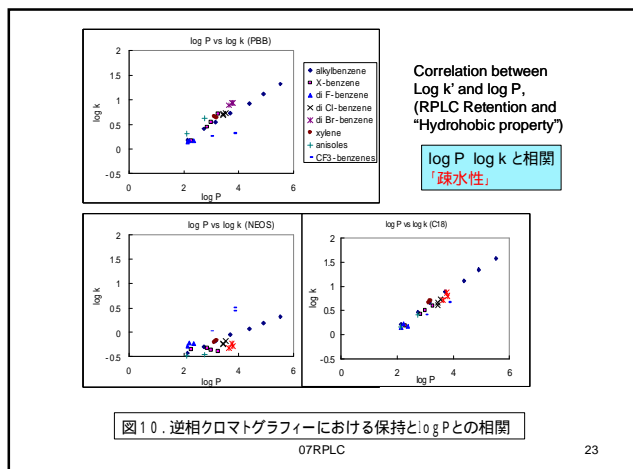




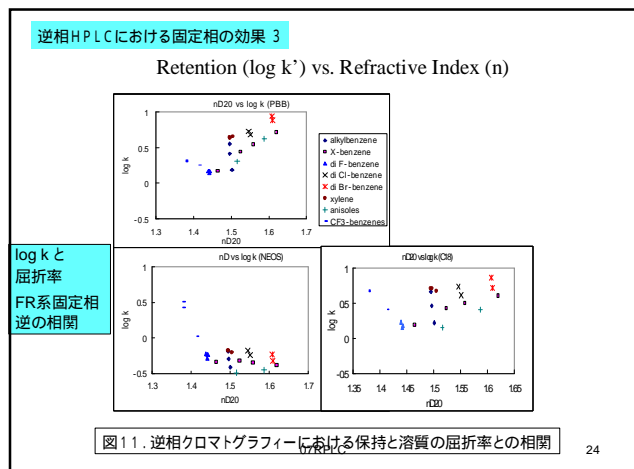




22



23



24

$$\alpha = (n_r^2 - 1) / (n_r^2 + 2)$$

n: refractive index 屈折率
 α : polarizability 分極率



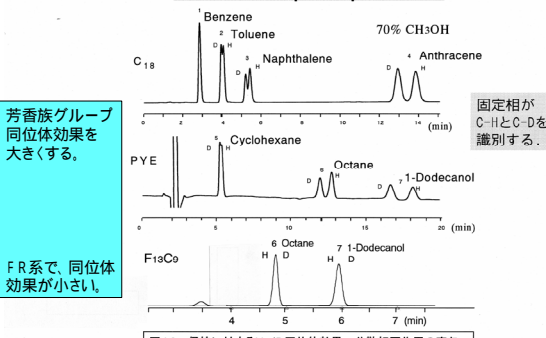
大きな分極率 = 強い分散相互作用(瞬間双極子 - 誘起双極子相互作用)
 大きな原子(大きな、ゆるい電子軌道) vs. 小さな原子(小さな電子軌道)
 I, Br, S, 電子 F, O, H

07RPLC

25

逆相HPLCにおける固定相の効果 4

H / D isotope separation



F R系で、同位体効果が小さい。

図12. 保持に対するH/D同位体効果 - 分散相互作用の寄与

26

逆相HPLCにおける固定相の効果 4

表3. 保持に対する重水素同位体効果

Compound	kH/kD (%IE per D)		
	C18	PBB	F13C9
Naphthalene	0.680	0.688	0.168
Anthracene	0.748	0.752	0.178
Octane	0.347	0.427	-0.129
1-Dodecanol	0.343	0.414	-0.118
$\alpha(\text{CH}_2)$	1.680	1.590	1.330
$\alpha(\text{C}_4\text{H}_2)$	2.553	5.240	1.074

$\alpha(\text{CH}_2)=k(\text{amylbenzene})/k(\text{butylbenzene})$
 $\alpha(\text{C}_4\text{H}_2)=k(\text{naphthalene})/k(\text{benzene})$

Mobile phase: 70% methanol

芳香族グループが同位体効果を大きくする。PBB(Br5)が最大のH / D識別を与える。FR系で、同位体効果が小さい。

逆相HPLCにおいて、溶質と固定相との分散相互作用は大きな効果をもつ。

07RPLC

27

逆相HPLCにおける固定相の効果 5

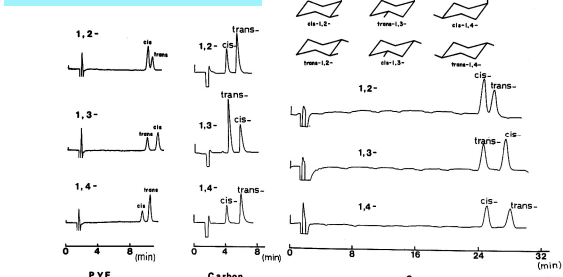


Fig. 4. Separation of dimethylcyclohexanes on C₁₈, PYE and carbon packing materials. Mobile phase: 70% methanol.

図13. Carbon充填剤の立体選択性 vs. PYE and C18

分散相互作用の大きさは距離の6乗に反比例する。立体効果が大きい。

07RPLC

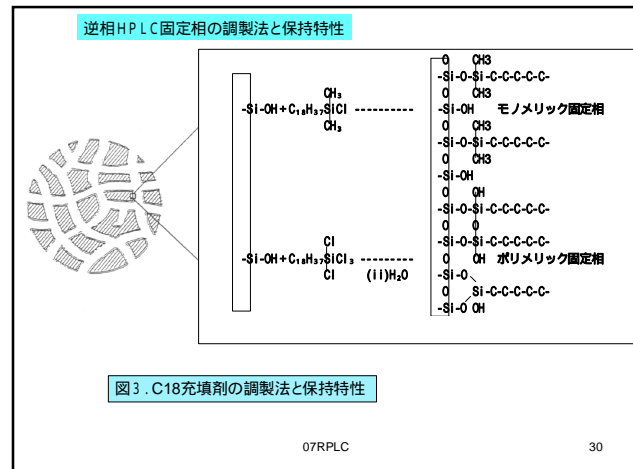
28

表2. 逆相クロマトグラフィー系において、溶質の保持をもたらす相互作用

疎水性相互作用 - 分子体積、表面積	移動相中
水の構造性、水素結合の切断	
双極子 - 双極子相互作用 (官能基の水素結合)	移動相中
溶媒和	
分散力 (瞬間双極子 - 誘起双極子相互作用)	固定相
立体効果 (立体的相補性)	固定相
電子供与体 - 受容体相互作用	固定相官能基
イオン - イオン相互作用	シラノール?

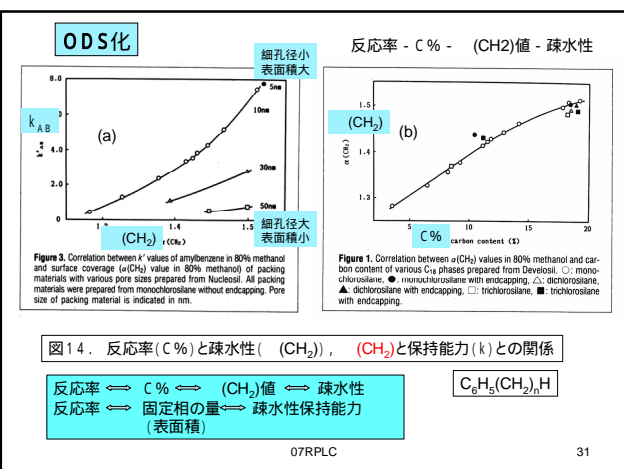
07RPLC

29



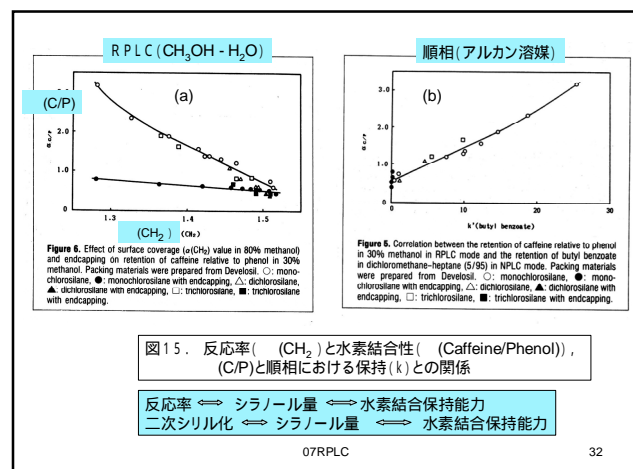
07RPLC

30



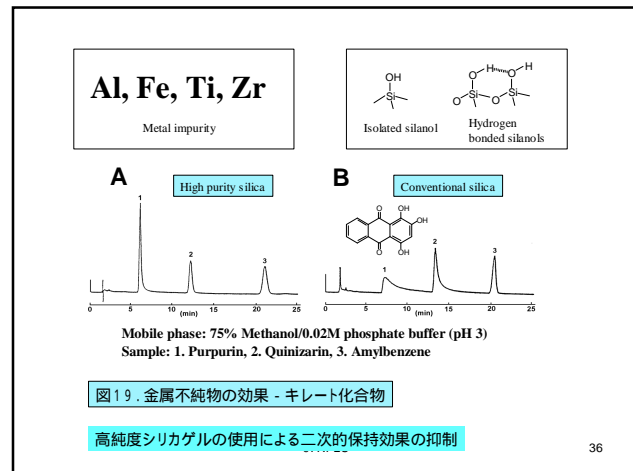
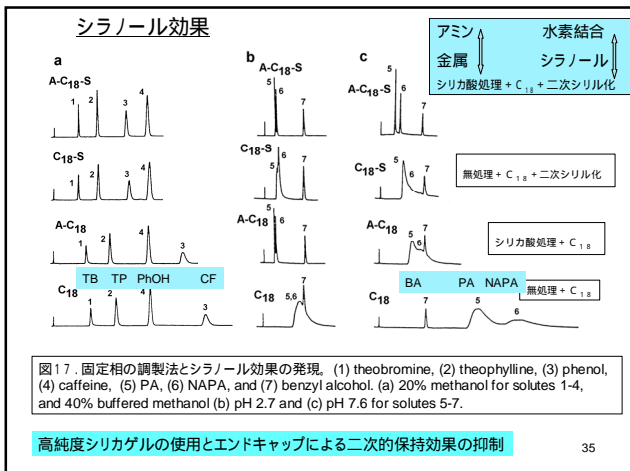
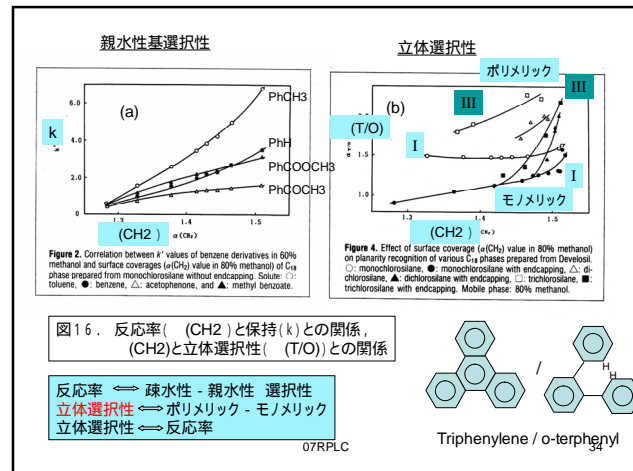
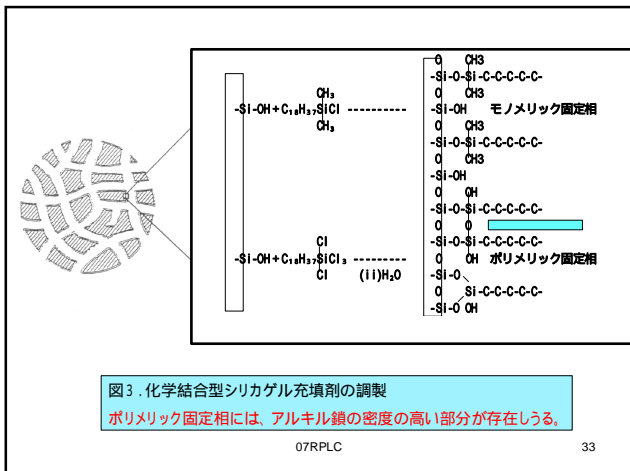
07RPLC

31



07RPLC

32

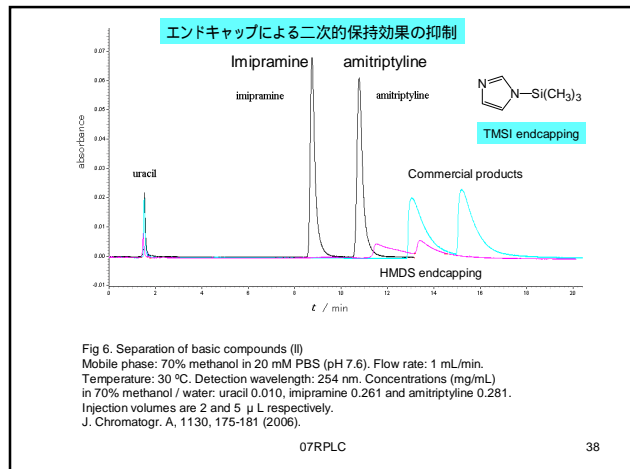


Commercial column	$k'_{\text{H}_2\text{O}}$	pH > 7 pH < 3					
		α_{CH_3}	$\alpha_{\text{H}_2\text{O}}$	$\alpha_{\text{C}_6\text{H}_5}$	$\alpha_{\text{CH}_2\text{Cl}}$	$\alpha_{\text{CH}_2\text{F}}$	$\alpha_{\text{CH}_2\text{Cl}_2}$
A Vydac 300-C ₁₈	2.05	1.49	1.94	0.66	0.62	0.03	
B Nucleosil 300-7C ₁₈	2.18	1.47	1.67	0.76	0.59	0.12	
C Cosmosil 5C ₁₈ -300	2.99	1.50	1.37	0.46	0.20	0.12	
D μBondapak C ₁₈	3.29	1.43	1.24	0.72	0.55	0.11	
E Cosmosil 5C ₁₈ -P	3.61	1.43	1.22	0.76	0.26	0.05	
F Hypersil ODS	4.16	1.46	1.75	1.29	2.49	1.43	
G TSKgel ODS-120A	4.28	1.44	2.13	1.26	1.16	0.09	
H LiChrosorb RP-18-H†	5.14	1.48	1.81	0.86	2.13	0.74	
I TSKgel ODS 80T _M	5.55	1.47	1.28	0.64	0.54	0.01	
J Capcellut C ₁₈ SG	5.63	1.47	1.49	1.46	0.47	0.06	
K Inertsil ODS-3	5.82	1.49	1.32	0.53	0.26	0.07	
L Nucleosil 100-5C ₁₈	5.93	1.47	1.59	0.58	1.47	0.07	
M TSKgel ODS-120T	6.45	1.49	1.86	0.49	0.48	0.08	
N LiChrosorb RP-18-H†	6.47	1.49	1.80	0.63	1.04	0.15	
O Cosmosil 5C ₁₈	7.21	1.51	1.51	0.45	0.15	0.08	
P YMC A-302 ODS	7.36	1.52	1.41	0.47	0.45	0.06	
Q Ultrasphere ODS	7.45	1.52	1.45	0.45	0.43	0.29	
R Devilbiss ODS-5	7.73	1.51	1.48	0.44	0.21	0.08	
S Zorbax BP-ODS	9.30	1.52	1.58	0.46	0.74	0.15	

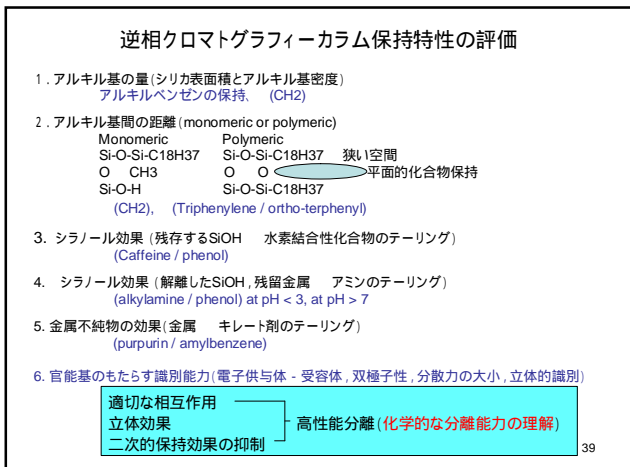
* Suppliers of columns: Vydec Separations Group; Nucleosil, Macherey Nagel; Cosmosil, Nacalai Testeisei; μBondapak, Waters; Hypersil ODS, Shandon; TSKgel, Tosoh; LiChrosorb, Merck; Capcellut, Shiseido; Inertsil ODS, Gasukuro Kogyo; YMC A-302 ODS, YMC; Ultrasphere ODS, Beckman; Devilbiss, Nomura Chemicals; Zorbax, Du Pont.
† LiChrosorb RP-18-H was purchased in 1988, and it was purchased in 1998.

37

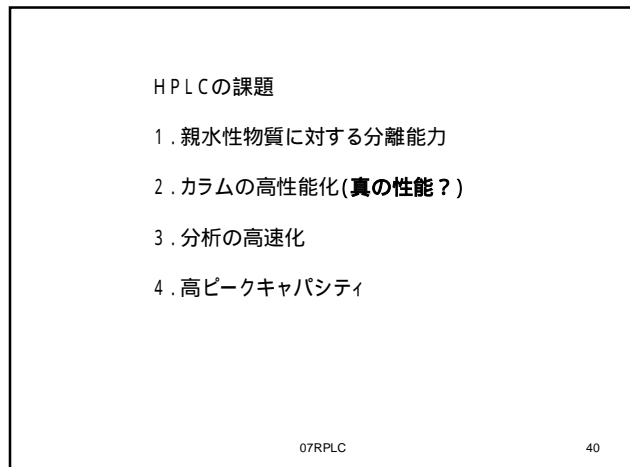
市販カラムの特性



38

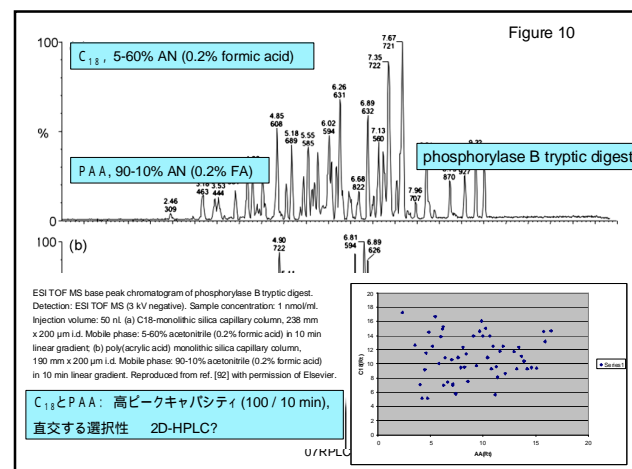
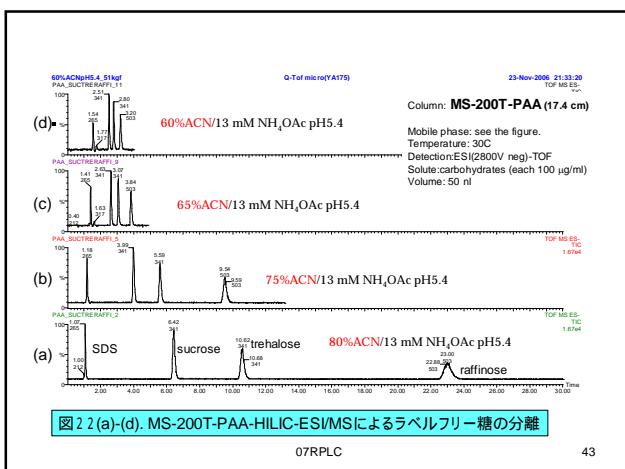
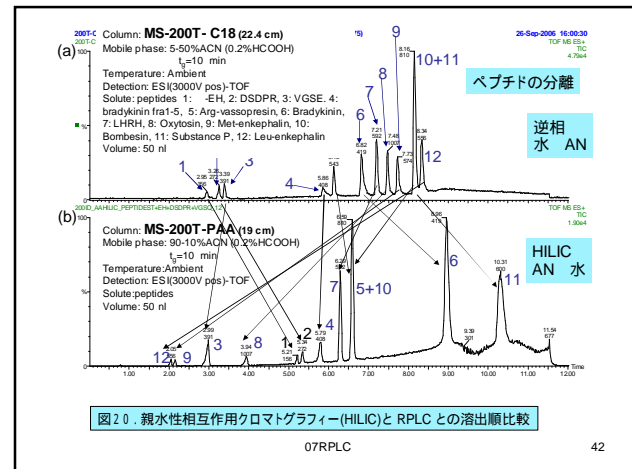
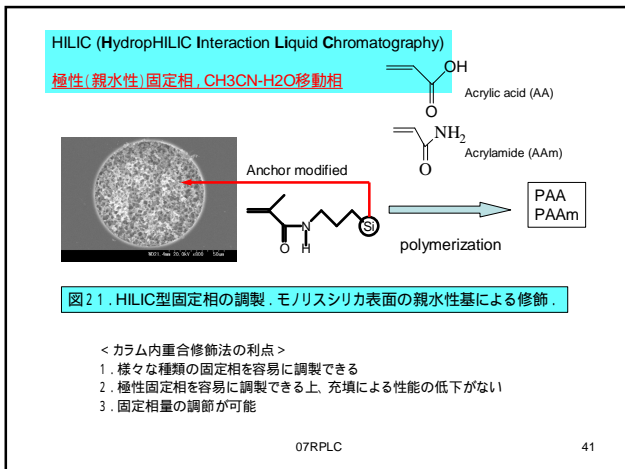


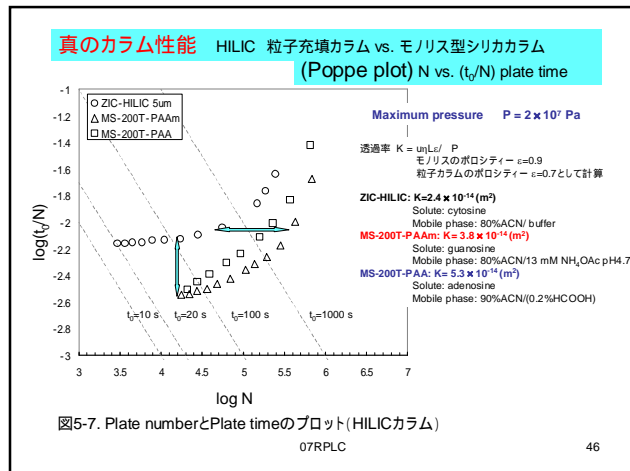
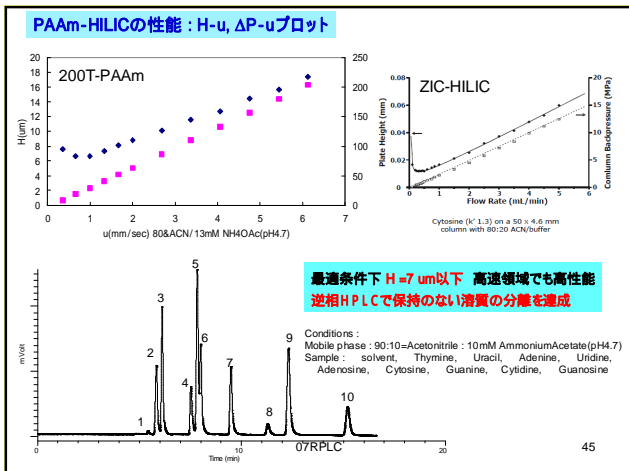
39



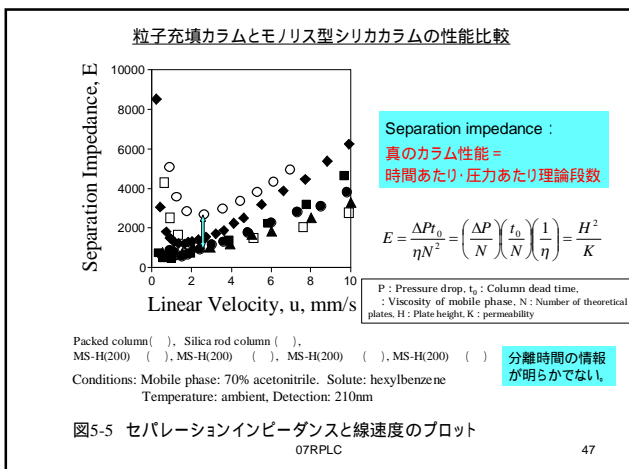
07RPLC

40

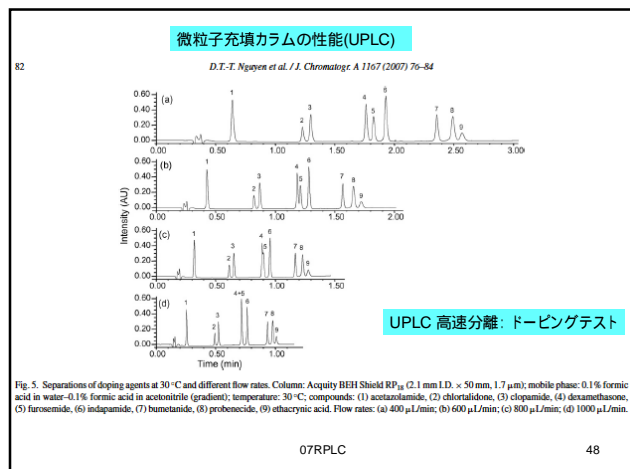




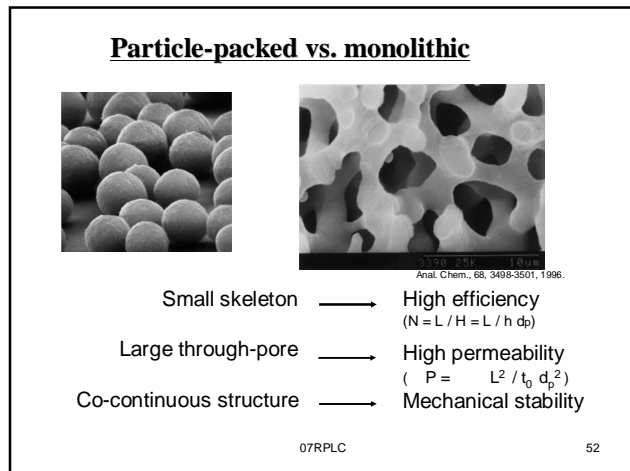
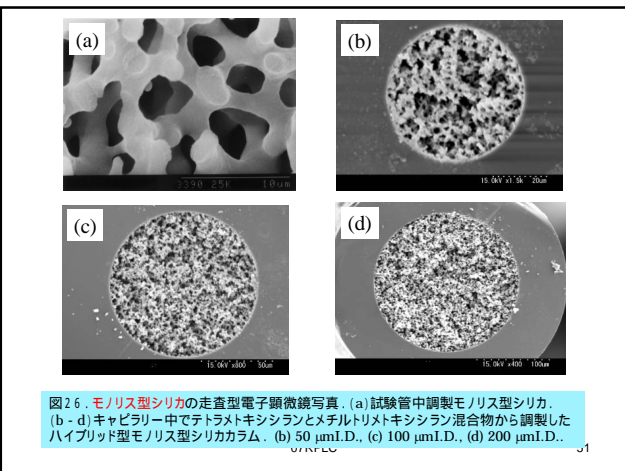
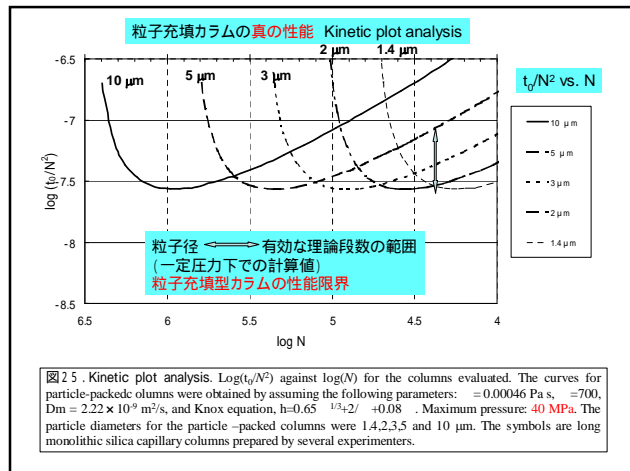
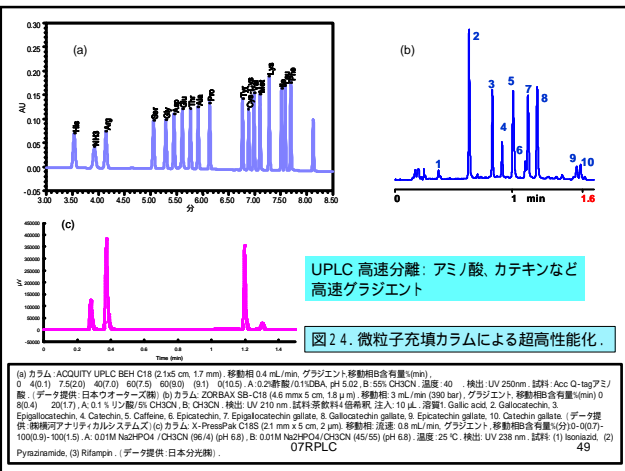
46



47



48



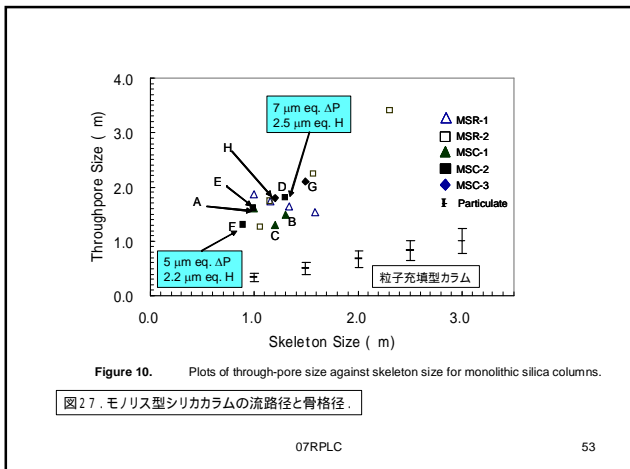


Figure 10. Plots of through-pore size against skeleton size for monolithic silica columns.

図27. モリス型シリカカラムの流路径と骨格径。

07RPLC

53

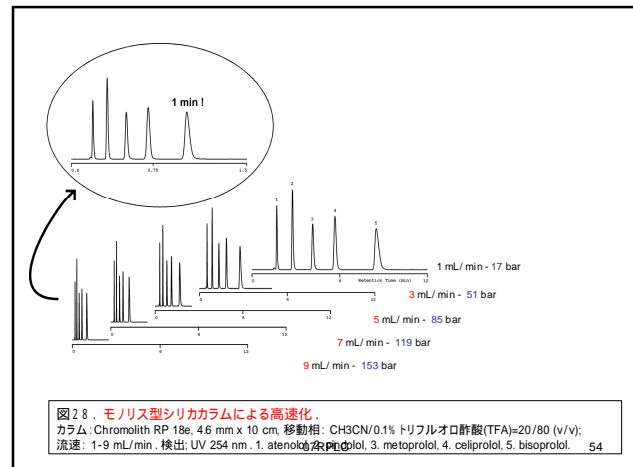


図28. モリス型シリカカラムによる高速化。

カラム: Chromolith RP 18e, 4.6 mm × 10 cm. 移動相: CH3CN/0.1% トリフルオロ酢酸(TFA)=20/80 (v/v); 流速: 1-9 mL/min. 検出: UV 254 nm. 1. atenolol, 2. R-phenol, 3. metoprolol, 4. celiprolol, 5. bisoprolol. 54

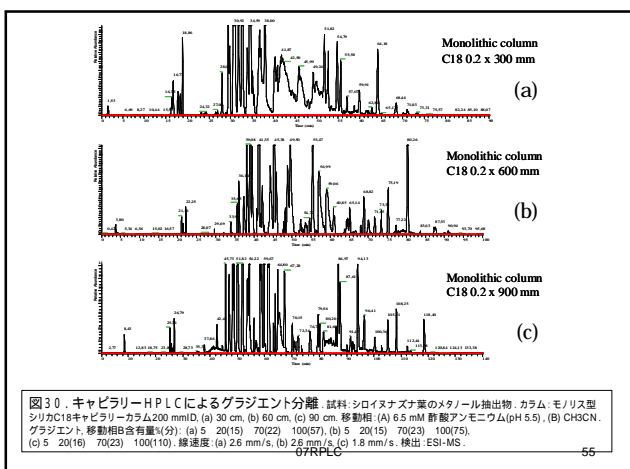
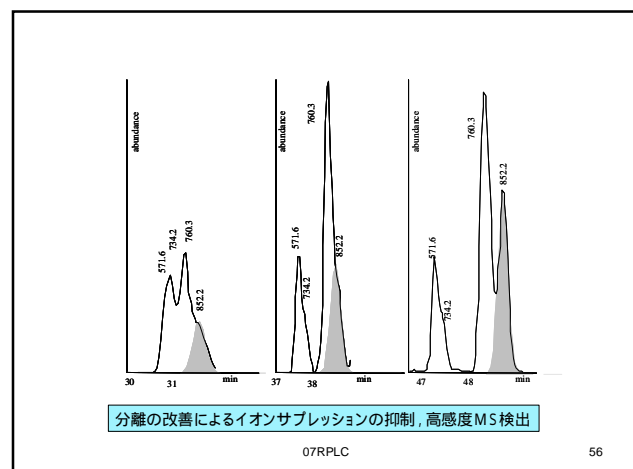


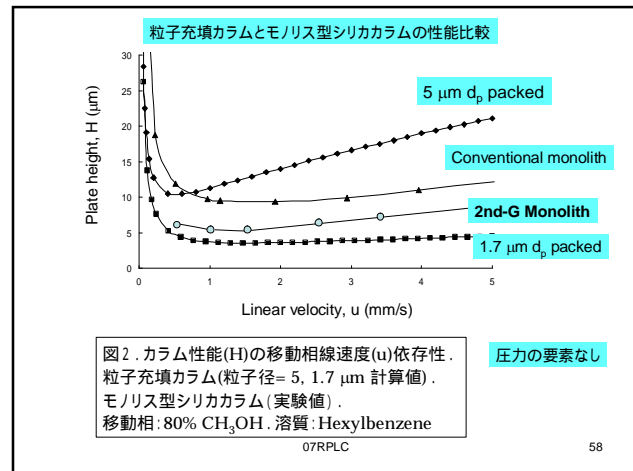
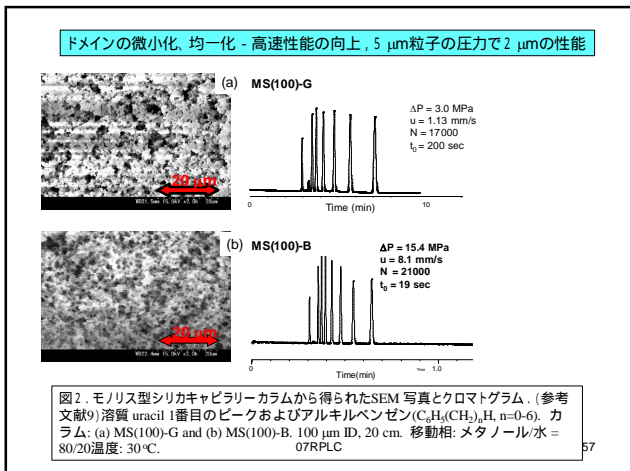
図30. キャビラリーHPLCによるグラジェント分離。試料: シロイヌナズナ葉のメタノール抽出物。カラム: モリス型シリカC18キャビラリーカラム200 ID. (a) 30 cm, (b) 60 cm, (c) 90 cm. 移動相: (A) 6.5 mM 鹿腹アソニウム(pH 5.5), (B) CH3CN. グラジェント: 移動相B含有量(%) 分割 9 → 20(15) 70(25) 100(10). (c) 5 → 20(15) 70(25) 100(10). 線速度: (a) 2.6 mm/s, (b) 2.9 mm/s, (c) 1.8 mm/s. 検出: ESI-MS. 55



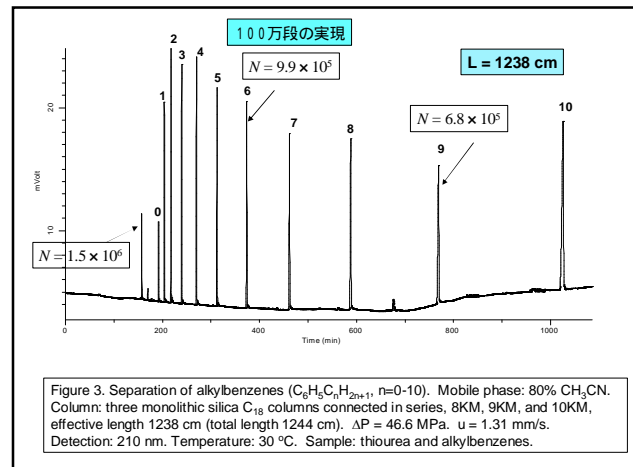
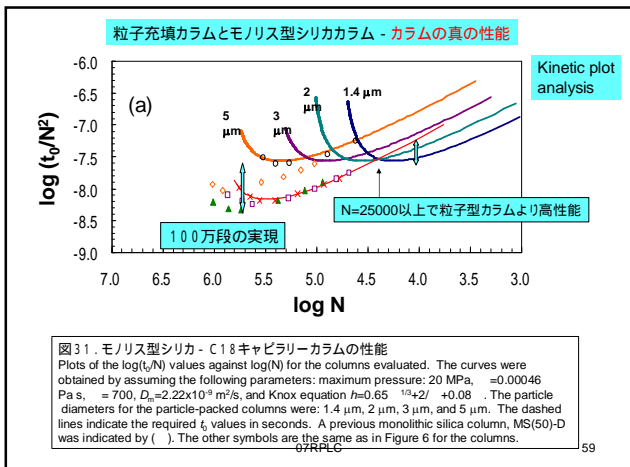
分離の改善によるイオンサプレッションの抑制、高感度MS検出

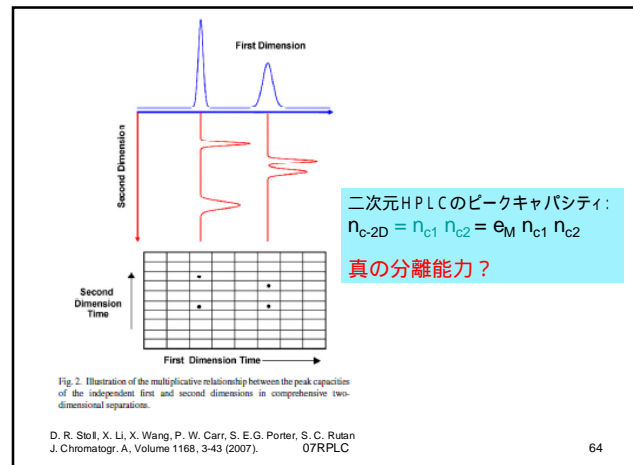
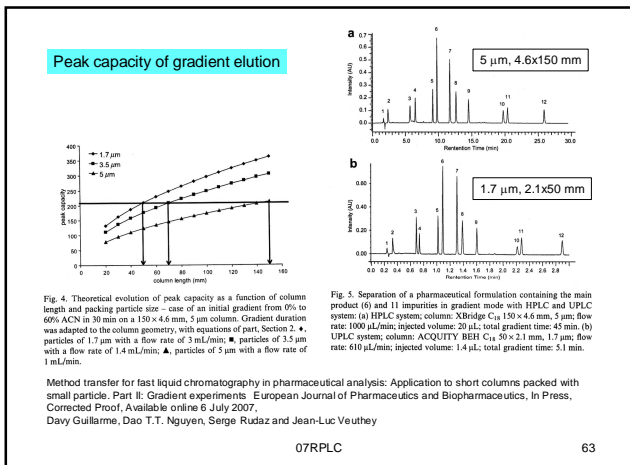
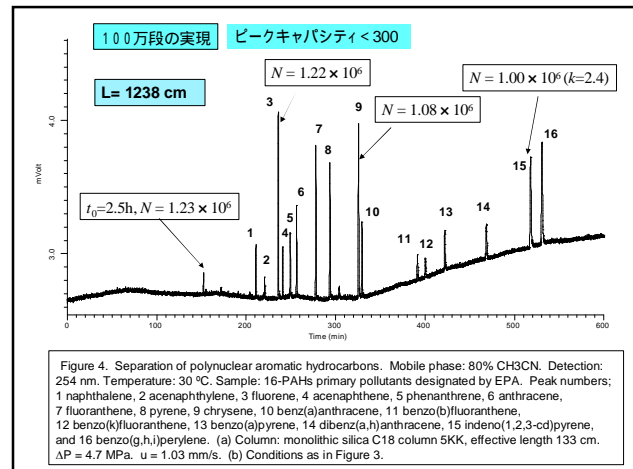
07RPLC

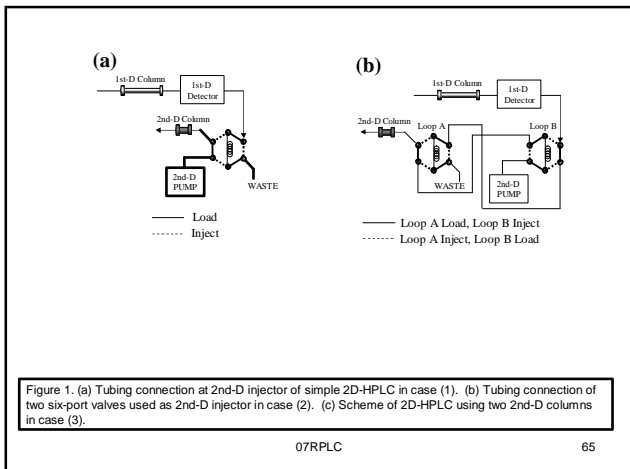
56



58

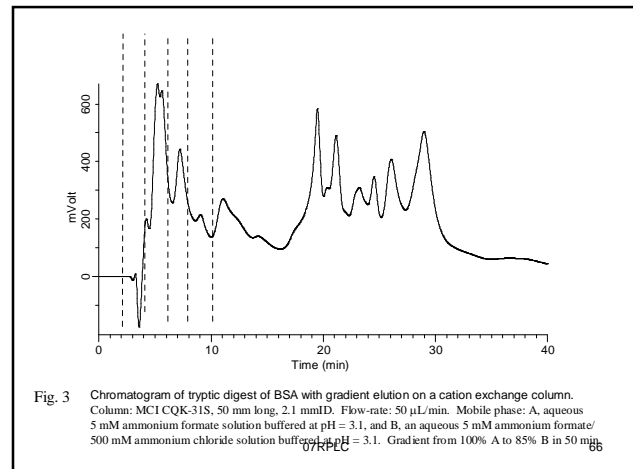






07RPLC

65



07RPLC 66

